## 遠心力模型実験を用いた長期地盤変形要因の分析

Analysis of long-term soil Reduction factor using centrifugal force Model Tests

共通事業本部地質部不動充共通事業本部地質部鈴木智之共通事業本部地質部高橋慶行

泥炭性軟弱地盤上に施工された河川堤防において、長期的な沈下や側方変位が多数確認されている。盛土に伴う泥炭性軟弱地盤の沈下は、弾性的な即時沈下、間隙水の脱水による一次圧密沈下、クリープ的な二次圧密沈下などに起因すると考えられており、沈下及び側方変位の予測は一般的な軟弱地盤と比べて困難で、未だ予測と実測値が一致しないことも多い。本稿は、このような地盤の沈下や側方変位の挙動を再現し、長期的な地盤の変形要因を考察する目的で遠心載荷装置を用いた遠心模型実験を試みたものである。

## 1 はじめに

北海道には、積雪寒冷地特有の泥炭性軟弱地盤が多く存在する。泥炭は、分解不十分な湿性植物の遺体が堆積してできたもので、その有機物含有量、圧縮性は極めて大きく、せん断強さは小さいなどの工学的特性を有する。一般に泥炭が表層部に堆積し、その下位に軟弱粘性土層が続くような地盤を泥炭性軟弱地盤という。盛土による泥炭性軟弱地盤の沈下は、弾性的な即時沈下、間隙水の脱水による一時圧密沈下、クリープ的な二次圧密沈下などに起因すると考えられており、沈下の予測は一般的な軟弱地盤と比べて困難で未だ予測と実測値が一致しないことも多いのが実態である。1)

本稿は、泥炭性軟弱地盤上に盛土が施工されてから 10 年近く経過しているが、長期的に沈下及び側方変位が継続している場所に対して、遠心載荷装置を用いた遠心模型実験を行い、長期的な地盤の変形挙動を将来予測したものである。

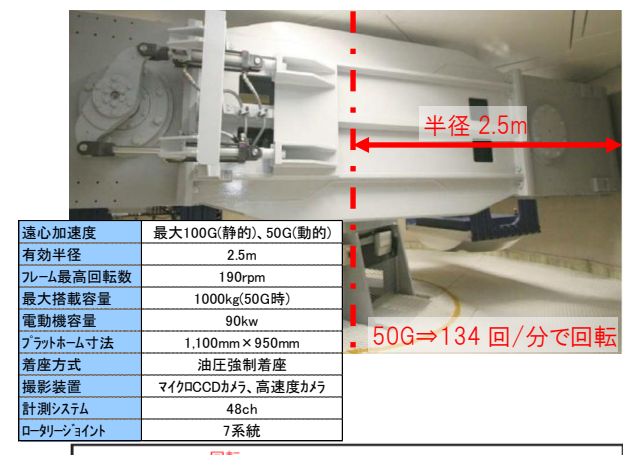
#### 2 遠心載荷装置

模型実験を実物大で実施する場合、規模が大きくなり実施が困難なため、縮小模型を用いて実施する。ただし、縮小模型を用いる場合、通常の重力場では、実物大の地盤と同様の応力状態を再現することが困難であることから、縮小模型に遠心加速度を作用させることで、実物大に相当する応力状態を再現すことを可能としている。

遠心力載荷装置は、図1.1に示す仕様で、回転

腕(アーム)の先端に模型容器を装着し、動力用 モータにより回転させることにより、遠心力を模 型に作用させるものである。

本実験に際しては、(国研) 土木研究所 寒地 土木研究所で所有する遠心載荷装置を借受した。



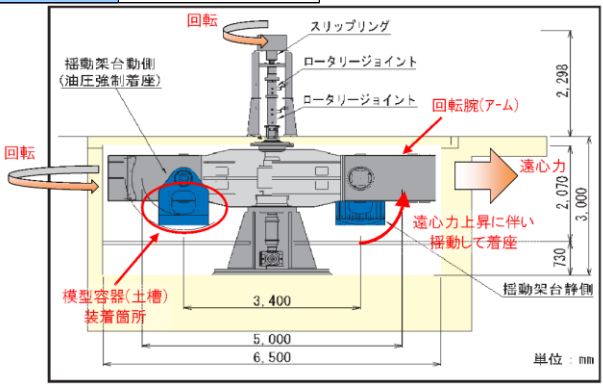


図 1.1 遠心載荷装置概略図 2)

## 3 縮小模型の作成

# 3.1 現地の土層構成

縮小模型を作成するにあたり、模型化する現地の 土層構成を整理した。現地の土層構成は、地表面よ り層厚4.0m程度のAp層(泥炭)が堆積し、その下位 に層厚2.0m程度でAs層(砂質土)が堆積する。盛 土は、必要盛土厚Htが8.0m程度となり、過年度調 査による土層断面図からは、2.7m程度の沈下が発 生しているものと想定される(図3.1)。

実験の対象土層は、沈下が卓越する Ap 層(泥炭) と、その下位に位置して、圧密沈下の排水層となる As 層(砂質土)とした。

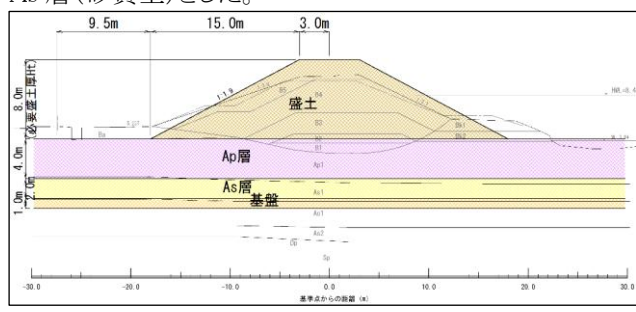


図 3.1 実験に用いる土層断面図

#### 3.2 模擬泥炭の作成

遠心模型実験に向けて、土槽に投入する模擬泥炭を作成した。模擬泥炭は、以下に示す3ケースについて作成し、試験載荷として盛土後、1時間程度50Gにより遠心載荷を行い、沈下量及びすべり破壊の有無等から実験への適否を評価した。

#### (1) 腐植物寸法調整試料

現地の泥炭をミキサーで攪拌後、粒径効果\*を 考慮して、4.75mm ふるいを通過した試料を用い て作成した。

※粒子寸法が実物の模型の縮尺と合致しないことに 起因した影響。

【適用不可】泥炭の繊維分が乱されて繊維による テンション効果がなくなったことで、地盤の強度が 再現できずに盛土が破壊に至った。

# (2) 粉末腐植物片による寸法調整

粒径効果を考慮して一定寸法(2~3 mm程度)に 植物片が裁断可能となるように現地の泥炭を乾燥 させ、裁断後、含水調整して作成した。

【適用不可】泥炭繊維に空気が入るため、脱気作業の際、敷設した泥炭が膨張することから十分な脱気が行えなかった。残存した空気のクッション効果で殆ど沈下を確認することができなかった。

# (3) 実物 (ブロックサンプリング試料)

現地でブロックサンプリングした泥炭を土槽の大きさに成形して用いた。

【適用可】基礎地盤の破壊は確認されず盛土載荷による圧密沈下及び圧密による泥炭の強度増加も

発生した。

以上のことから、模擬泥炭は現地の再現性の高い 実物(ブロックサンプリング)を採用した。

#### 3.3 縮小模型の作成

遠心模型に用いる縮小模型は 1/50 スケールとし て作成した。

基礎地盤の作成は、各土層(基盤⇒As 層⇒Ap 層の順)を所定の層厚で敷設した(表 3.1)。基礎地盤は、脱気処理作業を行い、土槽内に残存する空気を除去し、飽和状態とした後に自重による圧密を再現するために50G 場による自重載荷を行った。

盛土は、土槽外で最適含水比に調整した試料を 締固め整形し、凍結させた。その後、凍結させた状態で基礎地盤上に載せた。

また、遠心載荷時における盛土や地盤の沈下量 及び変形量、間隙水圧を計測する目的で計測セン サー(レーザー変位計、間隙水圧計)を設置した。

表 3.1 実験条件

土層名	記号	層厚(m)	材料	特記事項
築堤盛土	В	8.0	豊浦砂:カオリン=4:1	ρ <sub>t</sub> =1.7g/cm³、最適含水比
泥 炭	Ap1	4.0	不攪乱試料	w <sub>n</sub> =550%(採取時含水比)
砂質土	As1	2.0	豊浦砂	空中落下法により作成

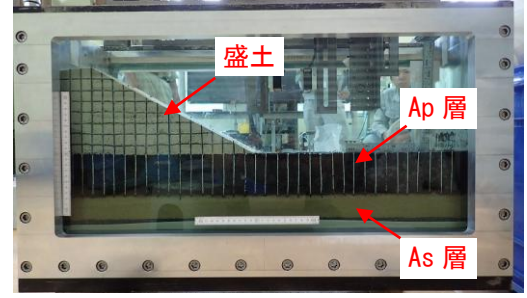


写真3.1 実験土槽一般図の状況

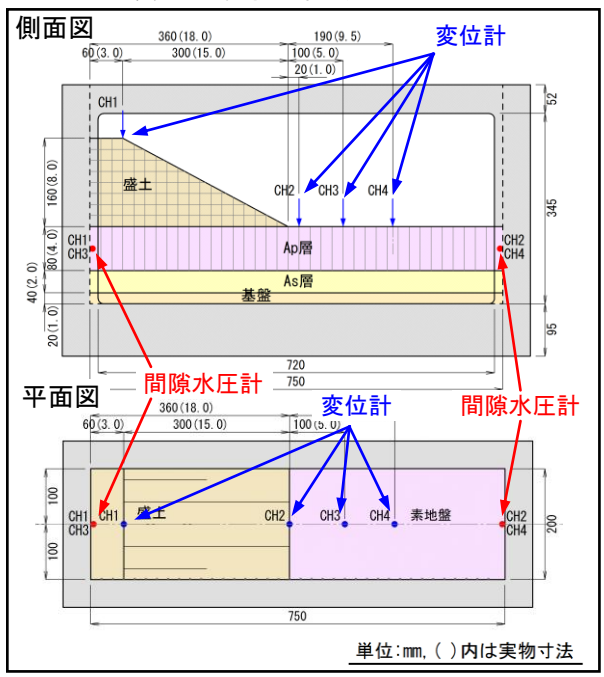


図3.2 実験に用いる土層断面図

## 4 遠心載荷

実験は、現地の条件を勘案して、盛土施工後から将来3年後を目安として約14年間を再現させるように実施した。実験開始から急な載荷による模型の破壊を防ぐために10Gピッチで段階的に遠心載荷による荷重を増加させ、約20分で50Gまで上昇させた。50G到達後は、48時間(50G換算で約13.7年)連続載荷を行った。

実験の状況や沈下量及び間隙水圧の経時変化 を図 4.1 に示し、以下に実験結果の概要を示す。

# 4.1 沈下量の経時変化

総沈下量(盛土圧縮量+泥炭沈下量)の経過を 以下にまとめる。なお、()内の数字は 50G 換算によ る値を示す。

実験開始から 10G ピッチ増加毎に 1cm(50cm) 沈下の進行が見られた。50G 到達時点での沈下量は 4.3cm(215cm)となった。50G 到達後は年間 0.1cm 程度(5cm)の沈下の進行が見られ、48 時間経過後 (13.7年)の沈下量は、5.5cm(275cm)を計測した。

実験で求めた沈下量は、盛土の圧縮沈下が 1.7cm(85cm)、泥炭の圧密沈下量が 3.8cm(190cm) で総沈下量は 5.5cm(275cm)となった。

## 4.2 間隙水圧の経時変化

10G ピッチで荷重を増加させる毎に盛土下の過剰間隙水圧が上昇し、その直後に消散が始まることが確認された。50G 場到達後は徐々に過剰間隙水圧が消散する傾向が見られた。これは荷重による泥炭層(Ap)の圧密によるものと想定される。

#### 4.3 側方変位

遠心載荷後の写真を写真 4.1 に示す。沈下及び側方変位の傾向としては、①鉛直方向への沈下が発生し、圧密作用による泥炭の強度増加が発生する。②盛土荷重が徐々に強度の弱い方向へ作用し、泥炭が側方流動する傾向をみせる。③泥炭の側方流動に連動して盛土法面がはらみ出す傾向をみせることが確認された。

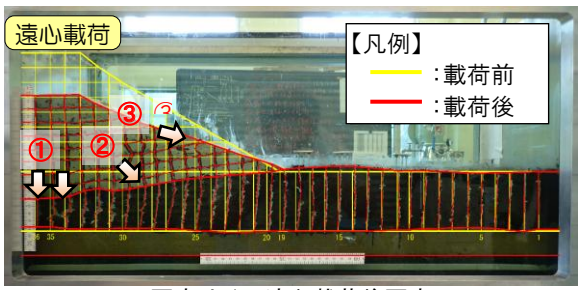


写真 4.1 遠心載荷後写真

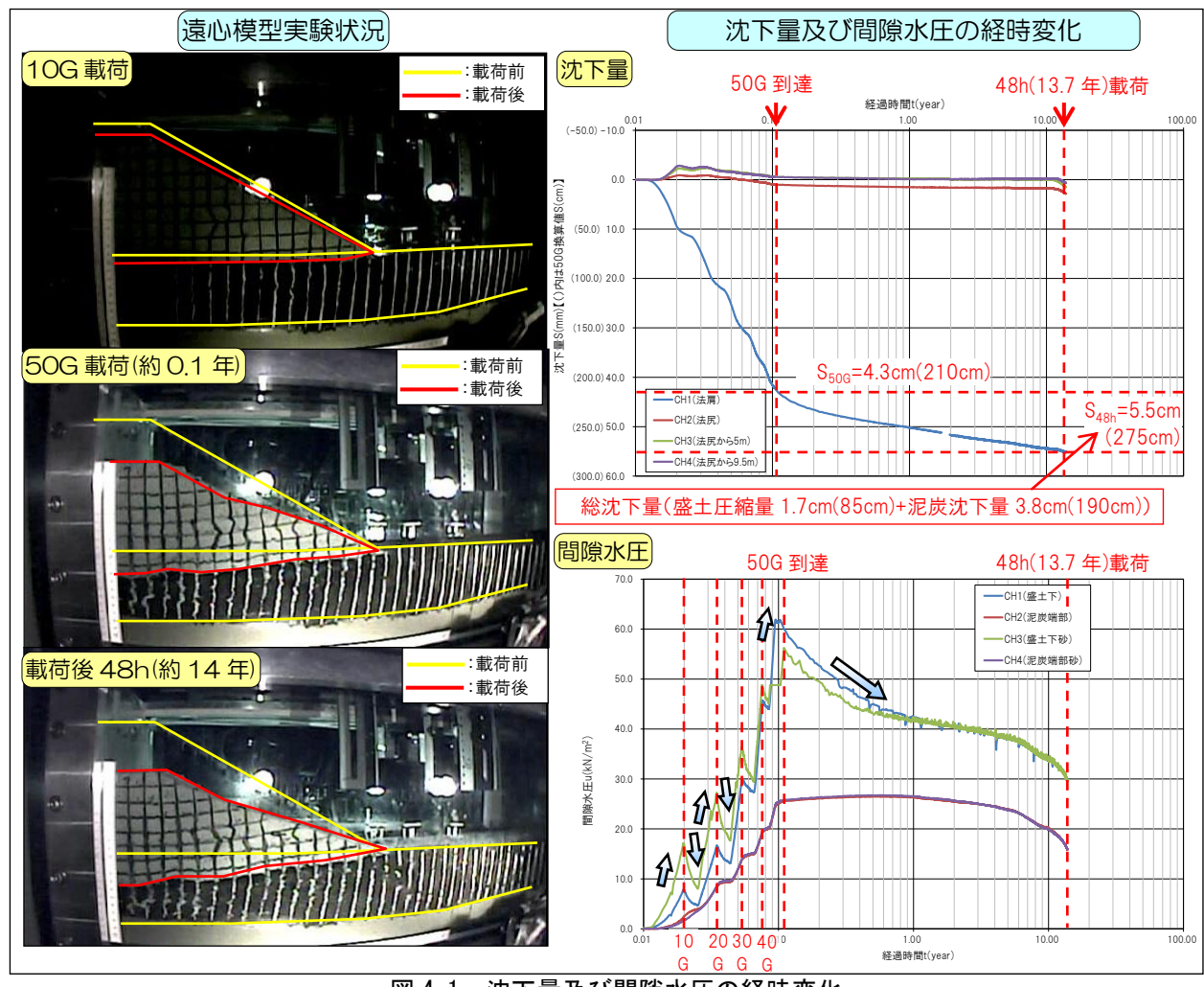


図 4.1 沈下量及び間隙水圧の経時変化

## 5 考察

# 5.1 沈下量

現地では、盛土施工完了後2年~9年後の期間 で堤防天端の測量が実施されている。現地の測量 結果による沈下の形状を FEM 解析により再現して、 将来の沈下量予測の精度向上を試みた。なお、 FEM 解析による再現はパラメータを任意に変動させ てトライアル計算を行ったものだが、本稿では省略 する。

図 5.1 に FEM 解析値と実測値、本実験で得られ た沈下量の比較を示す。横軸は、測量開始時を0と する。測量結果の存在する7年時の値で比較を行っ たところ、実測値 16.8cm に対し、実験値が 12.7cm (再現率76%)、解析値が14.3cm(再現率85%)とな り、3者の相関性が比較的良い結果となった。

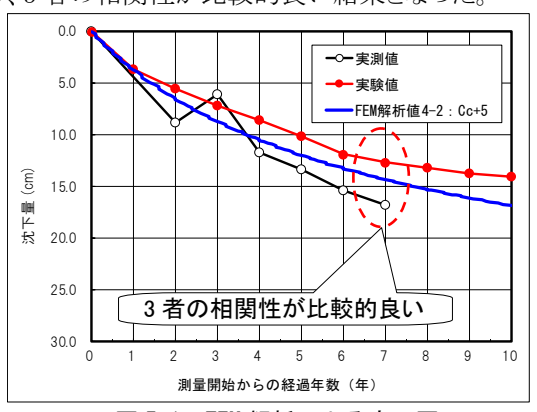


図 5.1 FEM 解析による変形図

この結果を基に50年後の沈下量を予測した結果 を図5.2に示す。実測値については双曲線法、実験 値については、双曲線法とlogt 法を用いた。現時点 (9年)から、50年後の沈下量の比較の結果、実測 値は15.1cm、実験値の予測値が20cm程度、解析値 の予測値が 15cm 程度と、ほぼ同様の沈下量となっ た。

#### 5.2 変形挙動

遠心載荷実験、FEM 解析、現地状況を図 5.3 に 整理した。遠心載荷実験では、遠心載荷中の地盤 の圧密に伴い、盛土直下の泥炭が強度増加するこ とにより、泥炭層(Ap)が側方流動して盛土がはらみ 出すことが確認されていた。FEM 解析でも同様の傾 向が見られ、①泥炭の圧密沈下、②泥炭の側方流 動、盛土法面のはらみ出す傾向が確認された。現地 についても、同様の傾向が確認されていることから、 遠心模型実験及び FEM 解析結果と現地が概ね同 様の挙動を示すことが確認できた。

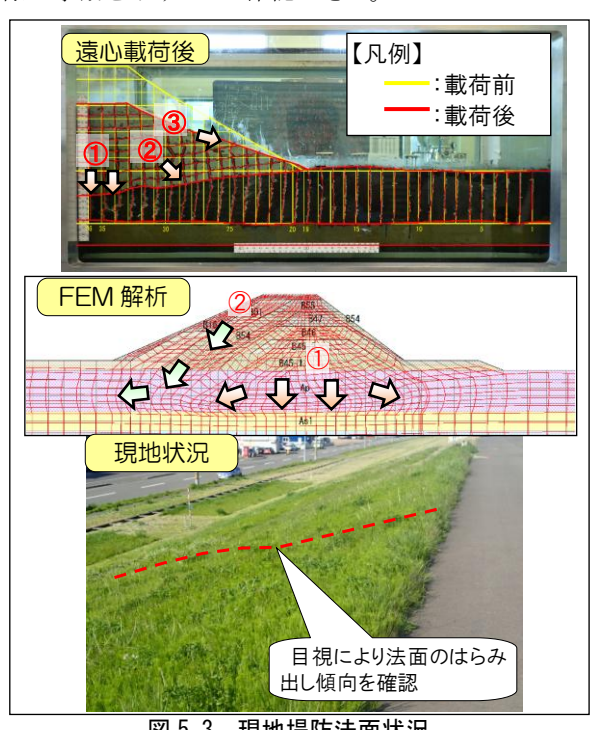


図 5.3 現地堤防法面状況

# 6 おわりに

本稿は、泥炭性軟弱地盤上に盛土した河川堤防 の変形挙動について、遠心模型実験による再現を 試みたものである。結果として、遠心模型実験による 結果と実現象の再現が一致し、将来予測が可能とな った一方で、模擬泥炭及び脱気・排水等の工学的 条件については、改善の余地があるものと考えられ た。今後、遠心模型実験を実施する際は、上記につ いて改良を試みたい。

# [参考文献]

- 1) 国立研究開発法人 土木研究所 寒地土木研究所 「泥炭性軟弱 地盤対策エマニュアル」 /H29.3
- 2) 国立研究開発法人 土木研究所 寒地土木研究所 「遠心力載荷 装置パンフレッ

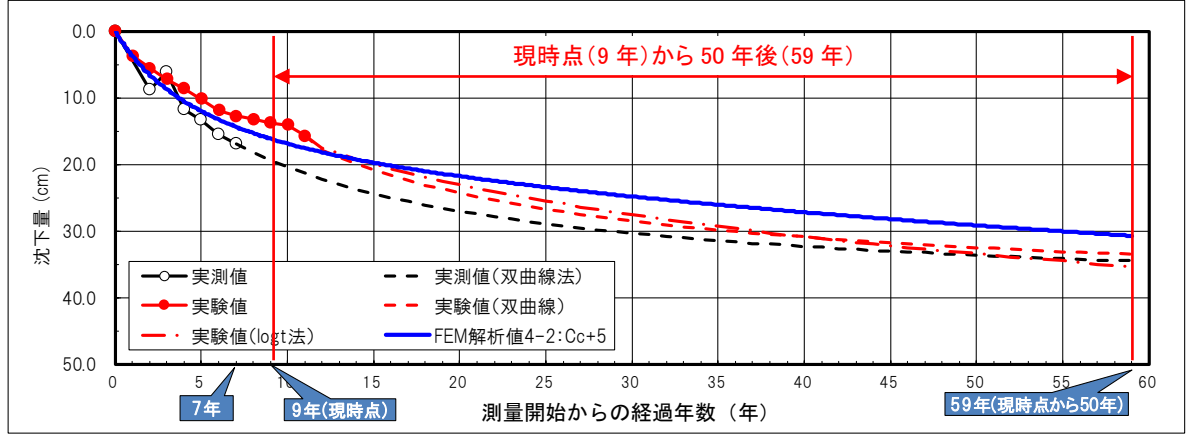


図 5.2 沈下量及び間隙水圧の経時変化